

数字信号处理

2017年秋冬学期

第十讲

2017年12月11日

5.4 频率取样法

5.6 FIR数字滤波器的实现结构

5.4 频率取样法—— $H(e^{j\omega})$ 对 $H_d(e^{j\omega})$ 的逼近

利用 $H(k)$ 、 $H(z)$ 及 $H_d(e^{j\omega})$ 的关系

Z变换在单位圆上等间隔取样(频率取样)为DFT:

$$H(k) = DFT[h(n)] = \sum_{n=0}^{N-1} h(n) W_N^{-nk} = H(e^{j\omega}) \Big|_{\omega = \frac{2\pi k}{N}} = H(z) \Big|_{z = e^{j\frac{2\pi k}{N}}}$$

$$H(k) \xrightarrow{IDFT} h(n)$$

$$h(n) = \frac{1}{N} \sum_{k=0}^{N-1} H(k) e^{j\frac{2\pi}{N}nk} \quad n = 0, 1, 2, \dots, N-1$$

第三章 DFT 和 Z 变换的关系: 离散时间信号 $h(n)$ 的 Z 变换 $H(z)$ 可以通过内插公式由其 DFT 变换值 $H(k)$ 得到。

数字信号处理 - FIR数字滤波器设计和实现

5.4 频率取样法—— $H(e^{j\omega})$ 对 $H_d(e^{j\omega})$ 的逼近

系统函数 $H(z)$ 用离散傅里叶变换 $H(k)$ 内插表示:

$$\begin{aligned} H(z) &= Z[h(n)] = \sum_{n=0}^{N-1} h(n) z^{-n} = \sum_{n=0}^{N-1} [IDFT\{H(k)\}] z^{-n} \\ &= \sum_{n=0}^{N-1} \left[\frac{1}{N} \sum_{k=0}^{N-1} H(k) W_N^{-nk} \right] z^{-n} = \frac{1}{N} \sum_{k=0}^{N-1} H(k) \left[\sum_{n=0}^{N-1} W_N^{-nk} z^{-n} \right] \\ &= \frac{1}{N} \sum_{k=0}^{N-1} H(k) \frac{1 - W_N^{-Nk} z^{-N}}{1 - W_N^{-k} z^{-1}} = \frac{1}{N} \sum_{k=0}^{N-1} H(k) \frac{1 - z^{-N}}{1 - W_N^{-k} z^{-1}} \quad (W_N^{-Nk} = 1) \end{aligned}$$

$H(k)$: 对 $H_d(e^{j\omega})$ 取样

$$H(k) = H_d(e^{j\frac{2\pi}{N}k}) \quad k = 0, 1, 2, \dots, N-1$$

FIR DF 频率取样法的设计过程为:

$$H_d(e^{j\omega}) \xrightarrow{\text{取样}} H(k) \xrightarrow{\text{内插}} H(z) = \frac{1}{N} \sum_{k=0}^{N-1} H(k) \frac{1 - z^{-N}}{1 - W_N^{-k} z^{-1}}$$

数字信号处理 - FIR数字滤波器设计和实现

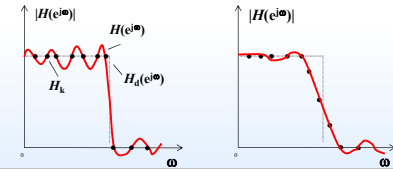
5.4 频率取样法—— $H(e^{j\omega})$ 对 $H_d(e^{j\omega})$ 的逼近

$$H(e^{j\omega}) = e^{-j\frac{N-1}{2}\omega} \sum_{k=0}^{N-1} H(k) e^{j(N-1)k\omega/N} \frac{\sin[N(\omega - \frac{2\pi k/N}{N})/2]}{N \sin[(\omega - \frac{2\pi k/N}{N})/2]} \quad (5.66)$$

在这些取样频率上, 二者具有相同的频响

$$H(e^{j\frac{2\pi}{N}k}) = H(k) = H_d(e^{j\frac{2\pi}{N}k})$$

在取样点之间, 由内插函数确定。因此, 存在逼近误差, 误差的大小取决于理想频率响应的曲线形状和取样点数 N 。在函数的不连续点附近会产生肩峰和波动。



数字信号处理 - FIR数字滤波器设计和实现

5.4 频率取样法—— $H(k)$ 的线性相位约束条件

Type I FIR DF: $h(n)$ 是偶对称, N 为奇数, 频率响应

$$H(e^{j\omega}) = H(\omega) e^{-j\frac{N-1}{2}\omega} \quad \text{其中 } H(\omega) = \sum_{n=0}^{\frac{N-1}{2}} a(n) \cos n\omega$$

$\cos(n\omega)$ 对于 $\omega=0, \pi, 2\pi$ 偶对称, 所以幅度函数 $H(\omega)$ 对 $\omega=0, \pi, 2\pi$ 偶对称。

令, $H(k) = H_k e^{j\theta_k}$

$$H(k) = H(e^{j\frac{2\pi}{N}k}) = H(\omega) e^{-j\frac{N-1}{2}\omega} \Big|_{\omega = \frac{2\pi k}{N}} = H\left(\frac{2\pi}{N}k\right) e^{-j\frac{N-1}{2} \frac{2\pi k}{N}}$$

$$\Rightarrow H_k = H\left(\frac{2\pi}{N}k\right), \quad \theta_k = -\frac{N-1}{2} \frac{2\pi}{N}k = -k\pi\left(1 - \frac{1}{N}\right)$$

$$H(\omega) = H(2\pi - \omega) \Big|_{\omega = \frac{2\pi k}{N}} \Rightarrow H\left(\frac{2\pi}{N}k\right) = H\left(2\pi - \frac{2\pi k}{N}\right) = H\left[\frac{2\pi}{N}(N-k)\right]$$

$$\text{约束条件} \begin{cases} H_k = H_{N-k} \\ \theta_k = -k\pi\left(1 - \frac{1}{N}\right) \end{cases}$$

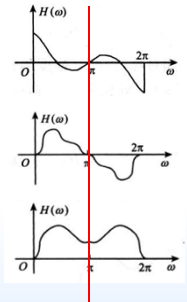
数字信号处理 - FIR数字滤波器设计和实现

5.4 频率取样法—— $H(k)$ 的线性相位约束条件

$$\text{Type II FIR DF} \begin{cases} H_k = -H_{N-k} \\ \theta_k = -\frac{N-1}{N}k\pi \end{cases}$$

$$\text{Type III FIR DF} \begin{cases} H_k = -H_{N-k} \\ \theta_k = \frac{\pi}{2} - \frac{(N-1)}{N}k\pi \end{cases}$$

$$\text{Type IV FIR DF} \begin{cases} H_k = H_{N-k} \\ \theta_k = \frac{\pi}{2} - \frac{N-1}{N}k\pi \end{cases}$$



数字信号处理 - FIR数字滤波器设计和实现

5.4 频率取样法 $H(e^{j\omega}) = e^{-j\frac{N-1}{2}\omega} \sum_{k=0}^{N-1} H(k) e^{j(N-1)k\omega/N} \frac{\sin[N(\omega - 2\pi k/N)/2]}{N \sin[(\omega - 2\pi k/N)/2]}$

例 5.7 利用频率取样法,设计一个低通 FIR 数字滤波器,其理想频率特性是矩形

$$|H_d(e^{j\omega})| = \begin{cases} 1 & 0 \leq \omega \leq \omega_c \\ 0 & \text{其他} \end{cases}$$

已知通带截止频率 $\omega_c = 0.4\pi$, 取样点数为奇数 $N = 41$, 要求滤波器具有线性相位。

解 由设计指标,可画出频率取样后的 $H(k)$ 序列,如图 5.46(a)所示。由于 $|H(k)|$ 的对称性,此处只画出了 $0 \leq \omega \leq \pi$ 即 $0 \leq k \leq 20$ 区间的情况。

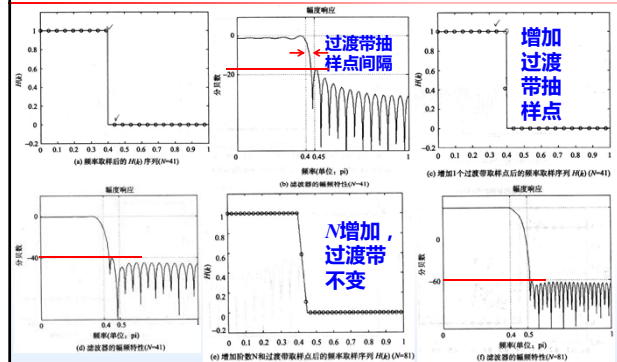
$N=41$, 则

$$H(k) = H_k e^{j\theta_k} = \begin{cases} 1 & 0 \leq k \leq \text{Int}(\frac{N\omega_c}{2\pi}) = 8 \\ 0 & \text{Int}(\frac{N\omega_c}{2\pi}) + 1 \leq k \leq 20 \end{cases}$$

此处 $\text{Int}[\cdot]$ 表示取整,将这些取样值代入 $H(e^{j\omega})$ 的表达式中,得

$$H(e^{j\omega}) = e^{-j\frac{N-1}{2}\omega} \left\{ \frac{\sin(\frac{41}{2}\omega)}{41 \sin(\frac{\omega}{2})} + \sum_{k=1}^8 \left[\frac{\sin[41(\frac{\omega}{2} - \frac{k\pi}{41})]}{41 \sin(\frac{\omega}{2} - \frac{k\pi}{41})} + \frac{\sin[41(\frac{\omega}{2} + \frac{k\pi}{41})]}{41 \sin(\frac{\omega}{2} + \frac{k\pi}{41})} \right] \right\}$$

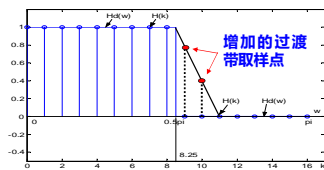
5.4 频率取样法



数字信号处理 - FIR数字滤波器设计和实现

8

5.4 频率取样法



- 如果要进一步增加阻带衰减,可再添加不等于 0 也不等于 1 的取样值,即在过渡带处增加取样点。这样过渡带继续加宽。
- 如果不允许增加过渡带宽,又希望增加阻带衰减,则可增加取样点数 N , 所付出的代价是阶次提高了,增加了运算量。

数字信号处理 - FIR数字滤波器设计和实现

5.4 频率取样法

例 5.8 用频率抽样法设计一个低通 FIR DF,其截止频率是抽样频率的 $1/10$,取 $N=20$ 。

解 此处 N 为偶数,且在通带内对 $H_d(e^{j\omega})$ 抽样时,仅得两个点。

由于

$$H(k) = H_d(e^{j\frac{2\pi k}{N}}) \quad k = 0, 1, 2, \dots, N-1$$

因此有

$$H_d(0) = 1$$

$$H_d(1) = e^{-j\frac{2\pi}{20}}$$

$$H_d(k) = H_d(N-k) = 0 \quad k = 2, 3, \dots, 10$$

$$H_d(19) = H_d(20-1) = e^{-j\frac{38\pi}{20}} = e^{j\frac{38\pi}{20}} = H_d^*(1)$$

基于 $H_d(k)$ 通过 DFT 反变换则可求得 $h(n)$

$$h(0) = h(19) = -0.04877 \quad h(1) = h(18) = -0.0391$$

$$h(2) = h(17) = -0.0207 \quad h(3) = h(16) = 0.0046$$

$$h(4) = h(15) = 0.03436 \quad h(5) = h(14) = 0.0656$$

$$h(6) = h(13) = 0.0954 \quad h(7) = h(12) = 0.12071$$

$$h(8) = h(11) = 0.1391 \quad h(9) = h(10) = 0.14877$$

10

5.4 频率取样法

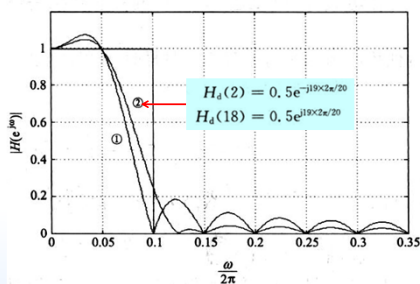


图 5.47 例 5.8 的 $|H(e^{j\omega})|$ 曲线

数字信号处理 - FIR数字滤波器设计和实现

11

5.4 频率取样法

例 5.9 用频率抽样法设计一个带通数字滤波器,其通带频率是 $500\text{Hz} \sim 700\text{Hz}$, 取样频率 $f_s = 3300\text{Hz}$, 使用阶次 $N=33$ 。

解 此时 N 为奇数,按照设计要求,可指定 $H_d(k)$ 为

$$H_d(k) = \begin{cases} e^{-j\frac{32\pi k}{33}} & k = 5, 6, 7, 26, 27, 28 \\ 0 & k = 0 \sim 4, 8 \sim 25, 29 \sim 32 \end{cases}$$

由此可求得系统冲激响应为

$$h(0) = h(32) = -0.0505 \quad h(1) = h(31) = 0.00793$$

\vdots

$$h(14) = h(18) = -0.1134 \quad h(15) = h(17) = 0.0746$$

$$h(16) = 0.181819$$

如图 5.48 中曲线①给出了 $H(e^{j\omega})$ 的幅频特性,可以看到其通带及阻带内都有较大

数字信号处理 - FIR数字滤波器设计和实现

12

5.4 频率取样法

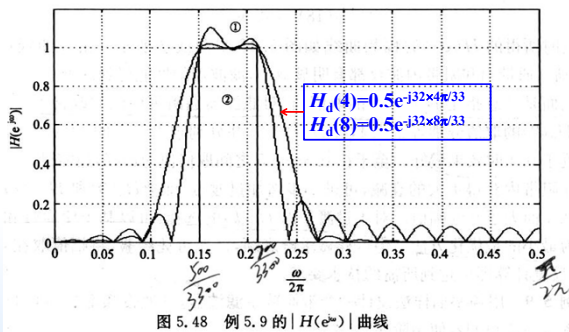


图 5.48 例 5.9 的 $|H(e^{j\omega})|$ 曲线

数字信号处理 - FIR 数字滤波器设计和实现

13

5.4 频率取样法

小结：

- 1) 在取样点处, $H(e^{j\omega})$ 和 $H_d(e^{j\omega})$ 相同
- 2) 在非取样点处, $H(e^{j\omega})$ 和 $H_d(e^{j\omega})$ 存在偏差 (各取样点间由内插函数延伸迭加而形成)
 - ◇ 所要求的特性越平缓, 内插值越接近要求值, 逼近也越好。
 - ◇ 反之, 则内插值与要求值间误差较大, 且在不连续点处出现起伏。
- 3) 出现过渡带, 通带和阻带内存在波动。
- 4) 具有线性相位特征
- 5) 抽样点 N 取的越大, 近似程度越好。

数字信号处理 - FIR 数字滤波器设计和实现

5.4 频率取样法

6) 在不连续点的边缘, 增加一些过渡取样值

提高逼近质量, 减少逼近误差, 增大了阻带最小衰减, 但增加了过渡带。

7) 优点：

- 在频域直接设计, 并且适合于最优化设计;
- 通过改变阶数 N 和设置过渡点, 通常都能取得满意的结果。

8) 缺点：

不能精确地确定其通带和阻带的边缘频率。因为取样频率只能等于 $2\pi/N$ 的整数倍, 因而不能确保截止频率 ω_c 的自由取值, 要想实现自由选择截止频率, 必须增加取样点数 N , 但这增加计算量。

数字信号处理 - FIR 数字滤波器设计和实现

5.6 FIR 数字滤波器的实现结构 —— 直接型结构

线性系统输入与输出关系 $y(n) = \sum_{i=0}^{N-1} h(i)x(n-i) = h(n) * x(n)$

可直接得到 FIR DF 的直接型结构, 又称为卷积型结构, 或横截型结构。

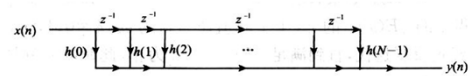


图 5.51 直接型结构 (一)

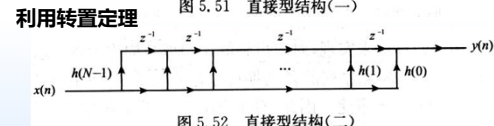


图 5.52 直接型结构 (二)

数字信号处理 - FIR 数字滤波器设计和实现

16

5.6 FIR 数字滤波器的实现结构 —— 级联型结构

系统函数 $H(z)$ 可写成按零点表示的二阶因式形式

$$H(z) = \sum_{n=0}^{N-1} h(n)z^{-n} = \prod_{i=1}^K [\alpha_{0i} + \alpha_{1i}z^{-1} + \alpha_{2i}z^{-2}]$$

若 N 为偶数, 则 $K = N/2$;

若 N 为奇数, 则 $K = (N+1)/2$, 且有一因式中的 $\alpha_{2i} = 0$ 。

网络结构可采用二阶级联形式：



缺点：抽头系数 α 的个数比直接型 $h(n)$ 多, 因此, 所需乘法器也多。
优点：每一个子网络控制一对零点, 零点可独立调整, 系统特性随零点变化的灵敏度优于直接型的。

数字信号处理 - FIR 数字滤波器设计和实现

17

5.6 FIR 数字滤波器的实现结构 —— 级联型结构

例 5.10 FIR 滤波器系统函数：

$$H(z) = 1 + 16z^{-4} + z^{-8}$$

$b = [1, 0, 0, 0, 16, 0, 0, 0, 1];$
 $a = [1, 0, 0, 0, 0, 0, 0, 0];$
% 与分子多项式 b 的长度一样
 $[z, p, k] = tf2zp(b, a);$
% 传输函数转换为极点形式
 $sos = zp2sos(z, p, k)$
% 极点转换为二次因式

求出并画出直接型和级联型结构。

解 直接型：由传输函数可写出其对应的系统差分方程： $y(n) = x(n) + 16x(n-4) + x(n-8)$

级联型：

$$H(z) = 1 + 16z^{-4} + z^{-8} = (0.1279 + 0.3614z^{-1} + 0.5106z^{-2})(0.4616 - 1.3042z^{-1} + 1.8427z^{-2}) \cdot (0.5107 - 0.3614z^{-1} + 0.1279z^{-2})(33.1673 + 23.4758z^{-1} + 8.3081z^{-2})$$

由上式则可得到级联型结构如下：

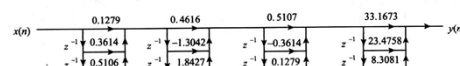


图 5.54 FIR DF 直接型结构

数字信号处理 - FIR 数字滤波器设计和实现

18

5.6 FIR数字滤波器的实现结构——频率取样型

FIR DF 是非递归型，但也可以采用递归型算法来实现 FIR DF——频率取样型。

系统函数 $H(z)$ ，可以用 $h(n)$ 的 DFT $H(k)$ 内插表示：

$$H(z) = \frac{1}{N} \sum_{k=0}^{N-1} H(k) \frac{1-z^{-N}}{1-W_N^{-k}z^{-1}} = \frac{1-z^{-N}}{N} \sum_{k=0}^{N-1} \frac{H(k)}{1-W_N^{-k}z^{-1}}$$

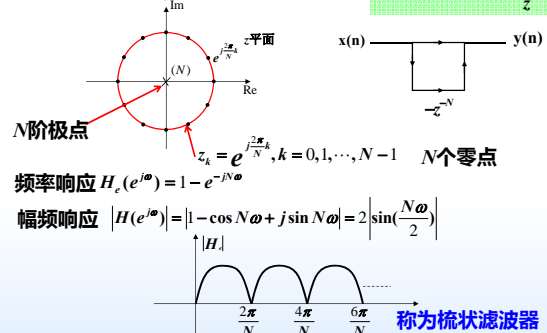
设 $H_c(z) = 1 - z^{-N}$ $H_k(z) = \frac{H(k)}{1 - W_N^{-k}z^{-1}}$

则 $H(z)$ 可以写成：
$$H(z) = \frac{1}{N} H_c(z) \left[\sum_{k=0}^{N-1} H_k(z) \right]$$

系统由 $H_c(z)$ 和 $\sum_{k=0}^{N-1} H_k(z)$ 两个子网络级联而成。

5.6 FIR数字滤波器的实现结构——频率取样型

第1个子网络： $H_c(z)$ 是 N 阶梳状滤波器 $H_c(z) = 1 - z^{-N} = \frac{z^N - 1}{z^N}$



5.6 FIR数字滤波器的实现结构——频率取样型

第2个子网络： $\sum_{k=0}^{N-1} H_k(z) = \sum_{k=0}^{N-1} \frac{H(k)}{1 - W_N^{-k}z^{-1}}$

$$\sum_{k=0}^{N-1} H_k(z) = \sum_{k=0}^{N-1} \frac{H(k)}{1 - W_N^{-k}z^{-1}} = \sum_{k=0}^{N-1} \frac{z \cdot H(k)}{z - W_N^{-k}} = z \sum_{k=0}^{N-1} \frac{H(k)}{z - W_N^{-k}}$$

是 N 个一阶网络的并联。在单位圆上有 N 个极点：

$$z_k = e^{j\frac{2\pi}{N}k} \quad k = 0, 1, \dots, N-1$$

➢ 通分求和： $z = 0$ 有一阶零点，在有限 z 平面上有 $N-1$ 个零点。

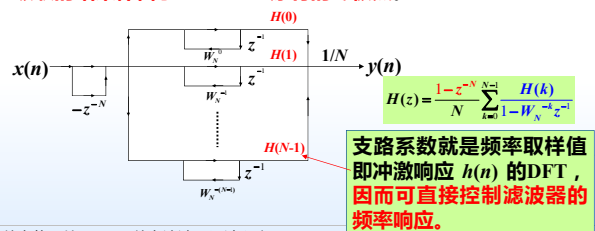
➢ 在 $\omega = \frac{2\pi}{N}k$ (极点) 的幅频响应为无穷大，故此并联网络等效于一个无耗并联谐振器，其谐振频率为 $\omega = \frac{2\pi}{N}k$, $k = 0, 1, \dots, N-1$ 。

5.6 FIR数字滤波器的实现结构——频率取样型

1) 单位圆上，并联谐振器极点各自正好抵消梳状滤波器零点。

2) 并联谐振器在 $z=0$ 处的一阶零点抵消了梳状滤波器在 $z=0$ 处的一个极点，在 $z=0$ 处的极点正好保留 $(N-1)$ 个。

级联的结果保留了 FIR DF 原有的零极点。



5.6 FIR数字滤波器的实现结构——频率取样型

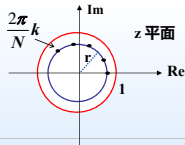
• 稳定性问题

- 在实际中，单位圆上的零极点抵消不完全。原因：
 - 梳状滤波器 $H_c(z)$ 的零点能够靠延时来准确地实现；
 - 并联谐振器在单位圆上的极点是靠复数乘法来实现的，故不能准确实现。
 - 结果：零极点抵消不完全，滤波器会出现不稳定现象，因此，应当对网络结构进行修正。

• 修正方法：

- 将单位圆上的零点和极点都移到半径 r 约小于 1 的圆上，用 rz^{-1} 来代替 $H_c(z)$ 和 $H_k(z)$ 中的 z^{-1} ， r 上取样 $H_c(k) \approx H(k)$ ，得：

$$H(z) = \frac{(1-r^N z^{-N})}{N} \sum_{k=0}^{N-1} \frac{H_c(k)}{1 - r W_N^{-k} z^{-1}} \approx \frac{1}{N} H_c(z) \sum_{k=0}^{N-1} \frac{H(k)}{1 - r W_N^{-k} z^{-1}}$$



5.6 FIR数字滤波器的实现结构——频率取样型

子网络合并

用 W_N^k 和 $H(k)$ 的周期性和对称性，可将网络转化为实数运算

- ① $W_N^{-(N-k)} = W_N^k = W_N^{-k}$
- ② $h(n)$ 是实函数， $H^*(k) = H(N-k)$

可将第 k 及第 $N-k$ 个谐振器合并为一个二阶网络：

$$H(k, z) = \frac{H(k)}{1 - r W_N^{-k} z^{-1}} + \frac{H(N-k)}{1 - r W_N^{-(N-k)} z^{-1}}$$

$$N \text{ 为偶数时 } H(z) = \frac{1}{N} (1 - r^N z^{-N}) \left[\sum_{k=0}^{N/2-1} 2 |H(k)| H_k(z) + H_0(z) + H_{N/2}(z) \right]$$

$$N \text{ 为奇数时 } H(z) = \frac{1}{N} (1 - r^N z^{-N}) \left[\sum_{k=0}^{(N-1)/2} 2 |H(k)| H_k(z) + H_0(z) \right] \quad \text{Eq. (5.115)}$$

$$\text{Eq. (5.116)}$$

5.6 FIR数字滤波器的实现结构——频率取样型

子网络合并

其中

$$H_0(z) = \frac{H(0)}{1-rz^{-1}} \quad H(0) = H(k)|_{k=0} = \sum_{n=0}^{N-1} h(n)W_N^{0n} \Big|_{k=0} = \sum_{n=0}^{N-1} h(n)$$

$$H_{\frac{N}{2}}(z) = \frac{H(\frac{N}{2})}{1+rz^{-1}} \quad H(\frac{N}{2}) = H(k)|_{k=\frac{N}{2}} = \sum_{n=0}^{N-1} h(n)W_N^{\frac{N}{2}n} \Big|_{k=\frac{N}{2}} = \sum_{n=0}^{N-1} (-1)^n h(n)$$

$$H_k(z) = \frac{\alpha_{0k} + \alpha_{1k}z^{-1}}{1 - z^{-1}2r\cos[\frac{2\pi}{N}k] + r^2z^{-2}} \quad \begin{aligned} \alpha_{0k} &= 2|H(k)|\cos[\theta(k)] \\ \alpha_{1k} &= -2|H(k)|r\cos[\theta(k) - \frac{2\pi}{N}k] \end{aligned}$$

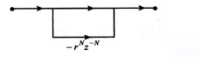


图 5.60 $H_0(z)$ 的网络结构

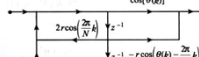


图 5.61 $H_1(z)$ 的网络结构

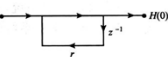


图 5.62 $H_0(z)$ 的网络结构

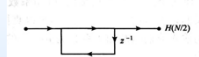


图 5.63 $H_1(z)$ 的网络结构

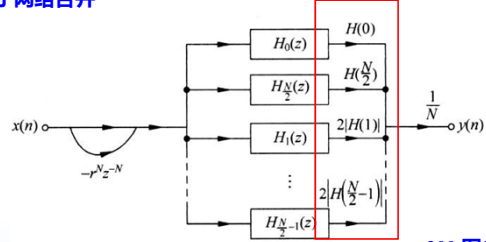
数字信号处

实现

25

5.6 FIR数字滤波器的实现结构——频率取样型

子网络合并



p. 300 图5.64

合并后的 FIR 滤波器频率取样型完整网络结构 (N 为偶数)

数字信号处理 - FIR数字滤波器设计和实现

26

5.6 FIR数字滤波器的实现结构——频率取样型

例 设 $h(n) = \frac{1}{9}\{1, 2, 3, 2, 1\}$, 求出并画出频率取样型结构。

$N=5$ 是奇数, 有 1 个一阶网络和 2 个二阶网络。

$$H(z) = \frac{1}{9}(1 + 2z^{-1} + 3z^{-2} + 2z^{-3} + z^{-4})$$

$$H(k) = H(z) \Big|_{z=e^{j\frac{2\pi}{5}k}} = \frac{1}{9} \left[1 + 2e^{-j\frac{2\pi}{5}k} + 3e^{-j\frac{4\pi}{5}k} + 2e^{-j\frac{6\pi}{5}k} + e^{-j\frac{8\pi}{5}k} \right]$$

因而

$$H(0) = 1 \quad H(1) = -0.2353 - 0.1710j \quad H(2) = 0.0131 + 0.0404j$$

$$H_0(z) = \frac{H(0)}{1-rz^{-1}} = \frac{1}{1-0.9z^{-1}} \quad \text{取 } r=0.9$$

$$k=1 \text{ 时 } \alpha_{01} = -0.4706 \quad \alpha_{11} = 0.4236$$

$$H_1(z) = \frac{\alpha_{01} + \alpha_{11}z^{-1}}{1 - z^{-1}2r\cos[\frac{2\pi}{5}k] + r^2z^{-2}} = \frac{-0.4706 + 0.4236z^{-1}}{1 - z^{-1}2 \times 0.9 \times \cos[\frac{2\pi}{5}] + 0.9^2z^{-2}} = \frac{-0.4706 + 0.4236z^{-1}}{1 - 0.5562z^{-1} + 0.81z^{-2}}$$

数字信号处理 - FIR数字滤波器设计和实现

27

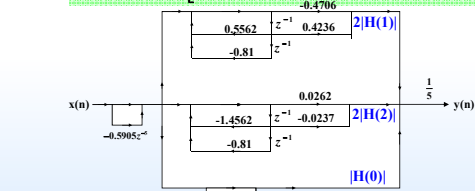
5.6 FIR数字滤波器的实现结构——频率取样型

$$k=2 \text{ 时 } \alpha_{02} = 0.0262 \quad \alpha_{12} = -0.0237$$

$$H_2(z) = \frac{\alpha_{02} + \alpha_{12}z^{-1}}{1 - z^{-1}2r\cos[\frac{2\pi}{5}k] + r^2z^{-2}} = \frac{0.0262 - 0.0237z^{-1}}{1 - z^{-1}2 \times 0.9 \times \cos[\frac{4\pi}{5}] + 0.9^2z^{-2}} = \frac{0.0262 - 0.0237z^{-1}}{1 + 1.4562z^{-1} + 0.81z^{-2}}$$

最后

$$H(z) = \frac{1}{N}(1 - r^N z^{-N}) \sum_{k=0}^{N-1} H_k(z) = \frac{1 - 0.9^5 z^{-5}}{5} \left[H_0(z) + H_1(z) + H_2(z) \right]$$



数字信号处理 - FIR数字滤波器设计和实现

28

5.6 FIR数字滤波器的实现结构——频率取样型

例 设 $h(n) = \frac{1}{9}\{1, 2, 3, 2, 1\}$, 求出并画出频率取样型结构。

Matlab 程序

% FIR Frequency Sampling Form

% given h(n)

format short;

h = [1,2,3,2,1]/9;

[C,B,A] = dir2fs(h)

运行结果如下:

C =

0.5818

0.0849

1.0000

B =

-0.8090 0.8090

0.3090 -0.3090

A =

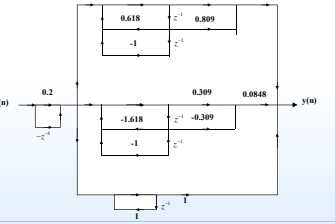
1.0000 -0.6180 1.0000

1.0000 1.6180 1.0000

1.0000 -1.0000 0

由于 $N=5$ 是奇数, 因此, 只有 1 个一阶网络, 并且 $r=1$ 。从而

$$H(z) = \frac{1 - z^{-5}}{5} \left[\frac{0.5818 - 0.8090z^{-1} + 0.8090z^{-2} - 0.8090z^{-3} + 0.5818z^{-4}}{1 - 0.618z^{-1} + z^{-2}} + \frac{0.309 - 0.309z^{-1}}{1 + 1.618z^{-1} + z^{-2}} + \frac{1}{1 - z^{-1}} \right]$$



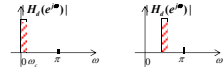
数字信号处理 - FIR数字滤波器设计和实现

29

5.6 FIR数字滤波器的实现结构——频率取样型

❶ 缺点:

- 需要较多的存储器
- 乘法运算量较大
- 结构较复杂



❷ 优点:

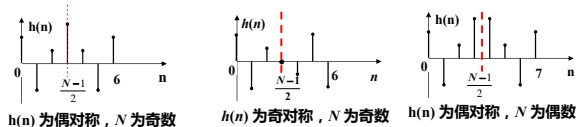
- 在窄带情况下, 例如窄带低通或带通滤波器, 大部分的频率取样值 $H(k)$ 均为 0, 从而可以减少 $H(k)$ 的数量, 减少运算量。
- 在 FIR DF 长度相等的情况下, 不需要改变整个结构及其它系数, 仅需要改变部分系数就可以得到不同的滤波器 (改变 $H(k)$);
- 并行结构, 计算快, 时延小。

数字信号处理 - FIR数字滤波器设计和实现

30

5.6 FIR数字滤波器的实现结构——线性相位DF结构

$h(n)$ 满足偶对称或奇对称，由对称性可将结构简化

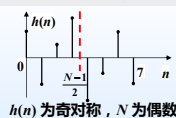


N 为奇数

$$H(z) = \sum_{n=0}^{N-1} h(n)z^{-n} = \sum_{n=0}^{(N-1)/2-1} h(n)[z^{-n} \pm z^{-(N-1-n)}] + h\left(\frac{N-1}{2}\right)z^{-\frac{N-1}{2}}$$

N 为偶数

$$H(z) = \sum_{n=0}^{N/2-1} h(n)[z^{-n} \pm z^{-(N-1-n)}]$$



数字信号处理 - FIR数字滤波器设计和实现

31

5.6 FIR数字滤波器的实现结构——线性相位DF结构

N 为奇数

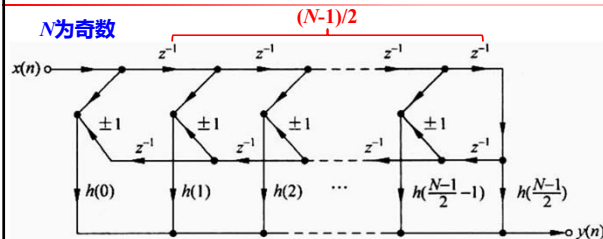


图 5.21 N 为奇数时线性相位 FIR 滤波器的直接型结构

$h(n)$ 偶对称时 ± 1 取 $+1$;
 $h(n)$ 奇对称时 ± 1 取 -1 , 且 $h\left(\frac{N-1}{2}\right) = 0$ 即 $h\left(\frac{N-1}{2}\right)$ 处的连线断开

数字信号处理 - FIR数字滤波器设计和实现

32

5.6 FIR数字滤波器的实现结构——线性相位DF结构

N 为偶数

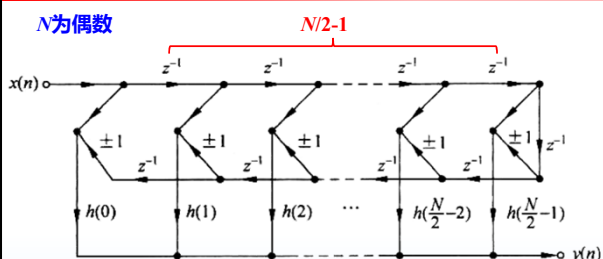


图 5.22 N 为偶数时, 线性相位 FIR 滤波器的直接型结构

$h(n)$ 偶对称时 ± 1 取 $+1$, $h(n)$ 奇对称时 ± 1 取 -1

数字信号处理 - FIR数字滤波器设计和实现

33

□ 第10次作业请到DSP公邮下载
 邮箱: zju_dsp@163.com

□ 实验四请到DSP公邮下载

作业12月18日交, 实验四1月8日交

34